

INTRODUCERE

Statica construcțiilor este una din disciplinele de bază în pregătirea studenților de la facultățile de construcții.

Prezenta culegere de probleme a fost întocmită în scopul de a se pune la dispoziția studenților un număr cît mai mare de aplicații complet rezolvate, care să constituie un ajutor în studiul acestei discipline. Lucrarea poate fi consultată și de inginerii din institutele de proiectare de specialitate, precum și de studenții altor facultăți cu profil tehnic.

În general s-a căutat ca în ordinea de tratare a problemelor să se urmărească succesiunea din programa analitică a cursului de静的構造の静的力学, prezentându-se cîteva exemple pentru fiecare tip de problemă, cu evidențierea diferențelor particularități.

La începutul fiecărui capitol sunt expuse succint ideile de bază și sunt date formulele utilizate în rezolvarea problemelor, considerîndu-se că cei care vor consulta această lucrare au studiat integral partea teoretică, fie din manualele de specialitate [13], [19], [25], fie la cursuri. De asemenea s-a urmărit ca problemele prezentate să fie de natura celor frecvent întâlnite în practica construcțiilor industriale și inginerești.

Culegerea de probleme se ocupă în exclusivitate cu calculul în domeniul elastic, acceptîndu-se următoarele ipoteze:

1) Materialele din care sunt executate construcțiile sunt perfect elastice, adică satisfac legea lui Hooke, a proporționalității între eforturile unitare și deformațiile specifice;

2) Deplasările sistemului sunt mici în raport cu dimensiunile reale ale construcțiilor, astfel încît se pot considera infinit mici. În baza acestei ipoteze se admite scrierea ecuațiilor de echilibru static pe schema nedeformată a construcției.

Tinînd seama de aceste două ipoteze, în cele ce urmează se poate aplica principiul suprapunerii efectelor pentru calculul eforturilor și deplasărilor, precum și ecuațiile mecanicii teoretice pentru scrierea condițiilor de echilibru al corpurilor.

Din mecanica teoretică se cunosc condițiile echilibrului static. Vectorial, aceste condiții se exprimă prin două ecuații:

$$\begin{aligned}\overline{R} &= 0 \\ \overline{M} &= 0\end{aligned}\quad (1)$$

Proiectind ecuațiile vectoriale (1) pe axele de coordonate se obțin, pentru cazul sistemelor spațiale, 6 ecuații scalare:

$$\begin{aligned}\Sigma X &= 0 \\ \overline{R} &= 0; \quad \Sigma Y = 0 \\ \Sigma Z &= 0 \\ \Sigma M_x &= 0 \\ \overline{M} &= 0; \quad \Sigma M_y = 0 \\ \Sigma M_z &= 0\end{aligned}\quad (2)$$

Ecuațiile (1) sunt valabile pentru orice punct arbitrar din spațiu.

Pentru sistemele de forțe plane, acționând, de exemplu, în planul xoy , din cele 6 ecuații rămân numai 3, două ecuații de proiecții pe axele ox și oy și o ecuație de moment în raport cu axa normală pe plan:

$$\begin{aligned}\Sigma X &= 0 \\ \Sigma M_z &= 0. \\ \Sigma Y &= 0\end{aligned}\quad (3)$$

Ecuațiile de echilibru static se pot utiliza așa cum sunt indicate în relațiile (3) sau se pot folosi: o ecuație de proiecție și două de moment sau 3 ecuații de moment în raport cu 3 puncte necoliniare din plan.

În majoritatea capitolelor se studiază sistemele plane încărcate cu forțe aflate în planul lor. Observații referitoare la sistemele spațiale se vor face la capitolele respective (XI și XII).

Unitățile de măsură utilizate sunt cele obișnuite (MKfS), adică:

- pentru forțe — kilogramul forță sau tonă forță;
- pentru lungimi — metrul.

În anexă sunt date unitățile de măsură atât în sistemul MKfS cât și în sistemul internațional.



CALCULUL REACȚIUNILOR

Structurile de rezistență sunt alcătuite din unul sau mai multe corpi, legate între ele prin legături interioare.

Oricare ar fi alcătuirea structurii, ea trebuie să fie legată cu terenul prin diferite rezemări. În calculul static se acceptă numai legăturile idealizate de tipul celor descrise mai jos.

În plan, tipurile de rezemări sunt:

1) Reazemul simplu (fig. 1.1, a) care împiedică deplasarea pe o direcție (normală la planul de rezemare sau pe direcția pendulului), lăsând liberă deplasarea în planul de rezemare și rotirea în jurul punctului de rezemare.

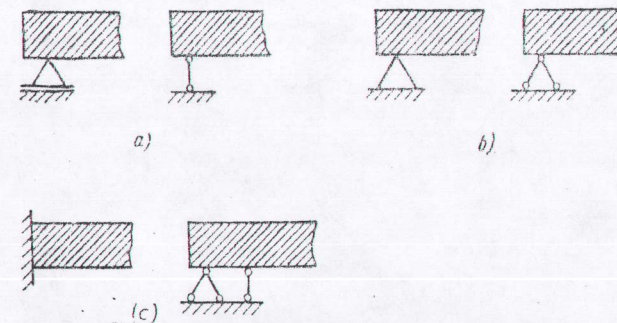


Fig. 1.1.

Unui reazem simplu îi corespunde o reacțiune (forță) cu punct de aplicare și direcție cunoscute (perpendiculară pe planul de rezemare). În calcule, reazemul simplu introduce o singură necunoscută: mărimea reacțiunii.

2) Articulația plană (fig. I.1, b), care împiedică deplasările de translație în plan, lăsând liberă numai rotirea.

Articulației ii corespunde o reacțiune forță cu punct de aplicatie cunoscut, dar de mărime și direcție necunoscută.

Reacțiunea se poate descompune după două direcții rectangulare (de exemplu, ox și oy), acceptând ca necunoscute cele două componente ale ei.

3) Încastrarea (fig. I.1, c) suprimă orice posibilitate de deplasare. Încastrarea introduce în calcul o reacțiune forță, căreia nu i se cunoaște punctul de aplicatie, direcția și mărimea.

Reducind această forță în raport cu punctul de încastrare, se obțin un moment și două componente forță, adică trei necunoscute.

Reacțiunile se pot calcula pe cale analitică (utilizând ecuațiile de echilibru static), pe cale grafică sau folosind principiul lucrului mecanic virtual.

a. Metoda analitică

Suprimind legăturile și introducind reacțiunile, structura devine un corp liber supus acțiunii forțelor exterioare date și a reacțiunilor.

Din mecanica teoretică se știe că dacă un corp este supus acțiunii unui sistem de forțe acționând în planul său și dacă numărul de necunoscute este egal cu numărul de ecuații de echilibru static se spune că acest corp este static determinat, iar ecuațiile de echilibru static sunt suficiente pentru rezolvarea problemei.

La un sistem de corpi legate între ele prin legături interioare (de exemplu, articulații, reazeme simple etc.), calculul reacțiunilor se efectuează prin metodele cunoscute din mecanica teoretică, și anume prin separarea corpurilor sau prin tratarea echilibrului corpurilor în ansamblu, punând și condițiile specifice legăturilor interioare existente.

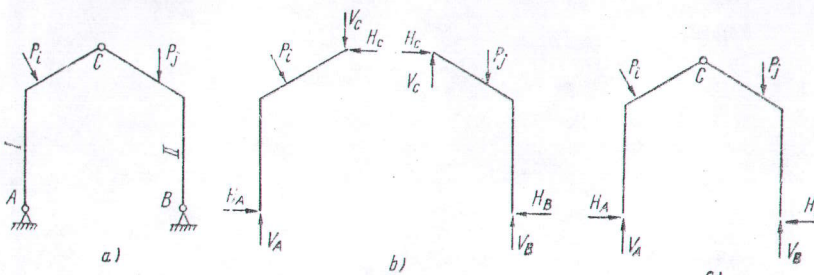


Fig. I.2

Aplicarea separării corpurilor introduce noțiunea de forțe de legătură interioare, care sunt perechi de forțe egale și de sens contrar (pe baza principiului acțiunii și reacțiunii).

De exemplu, structura din figura I.2 este alcătuită din două corpi. Pentru calculul reacțiunilor se separă corpurile, se pun în evidență forțele de legă-

tură exterioare și interioare și se scriu ecuațiile de echilibru static pentru fiecare corp în parte, obținându-se un sistem de 6 ecuații cu 6 necunoscute, deoarece forțele de legătură sint egale două cîte două.

Scriind echilibrul întregului sistem, rezolvarea se face utilizînd cele trei ecuații de echilibru static (pentru întreg ansamblu) și o ecuație de moment încovoietor egal cu zero, în raport cu articulația interioară din punctul C.

În ecuații intervin numai forțele din legăturile cu terenul (forțele din legăturile interioare nu apar). La structura din figura I.2, a, necunoscutele sunt V_A , H_A , V_B și H_B , iar ecuațiile ce se pot scrie pentru determinarea lor sunt: $\sum X=0$, $\sum Y=0$, $\sum M_z=0$, $M_{ic}=0$.

b. Metoda grafică

Se bazează pe concluziile obținute în mecanica teoretică referitoare la echilibrul unui corp supus acțiunii a trei forțe și anume: — pentru ca trei forțe situate în același plan, să fie în echilibru trebuie ca ele să fie concurente.

Pentru sistemele de bare acționate de forțe în planul lor, condiția de concurență dă posibilitatea determinării direcțiilor de acțiune a reacțiunilor, mărimea lor fiind determinată din poligonul închis al celor trei forțe.

Practic se determină întii mărimea și direcția rezultantei forțelor exterioare, apoi din condiția de concurență a rezultantei cu reacțiunile ce acționează asupra corpului se obțin direcțiile reacțiunilor și ulterior mărimea lor din poligonul forțelor.

De exemplu, în figura I.3, a este reprezentat un sistem de două corpi AC și BC încărcat cu forța exterioară P .

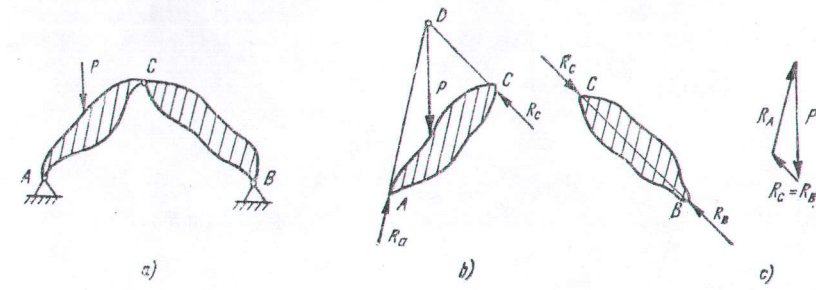


Fig. I.3.

Desfăcînd legătura interioară din C, fiecare corp trebuie să fie în echilibru sub acțiunea forțelor exterioare și a celor de legătură.

Corpul BC este acționat de reacțiunile din B și C, care conform condiției de echilibru trebuie să fie coliniare, egale și de sens contrar (fig. I.3, c).

Corpul AC este solicitat de reacțiunea din C, de forța P și de reacțiunea din A. Cunoscind direcția reacțiunii R_C și a forței P se determină punctul

lor de intersecție D . Punctul de aplicație a reacțiunii R_A este cunoscut (articulația A), punctul D este un al doilea punct de pe direcția pe care acționează R_A (condiția de concurență a trei forțe în echilibru). În acest mod se determină direcția reacțiunii R_A (fig. 1.3, b).

Din poligonul forțelor se determină mărimea reacțiunilor R_A și R_C și apoi R_B , care este egală cu R_C . Sensul reacțiunii R_B rezultă din figura 1.3, c.

În cazul forțelor paralele direcțiile reacțiunilor fiind cunoscute, trebuie determinată numai mărimea lor. Utilizând poligonul forțelor și poligonul funicular, se obține mărimea reacțiunilor.

c. Metoda lucrului mecanic virtual

Pentru început se reamintesc noțiunile din mecanica teoretică referitoare la modul de determinare a centrelor instantanee de rotație și teorema de coliniaritate ale acestor centre.

Centrul instantaneu de rotație este punctul în jurul căruia se rotește un corp aflat în mișcare relativă. În statică, noțiunea de deplasare trebuie înțeleasă în sensul de deplasare infinitesimală.

Centrele instantanee se determină ca puncte de intersecție a razelor vectoare normale pe direcția vitezelor punctelor corpului.

Centrele de rotație ale corpurilor unui lanț cinematic, dintre coruri făcând parte și baza de susținere, se împart în două categorii:

- centre instantanee absolute de rotație;
- centre instantanee relative de rotație.

Centrul absolut de rotație al unui corp este punctul care are viteza absolută egală cu zero.

Notind corurile lanțului cinematic cu I , II etc., centrul absolut de rotație se va nota cu $1p$, $2p$ etc. Primul indice indică corpul căruia aparține centrul de rotație, iar litera p indică faptul că centrul este absolut.

Centrul relativ de rotație a două coruri este punctul în care cele două coruri au deplasarea egală, sau, altfel exprimat, este punctul în care viteza relativă este nulă. Aceste centre se notează cu 12 , 23 etc., adică centrul relativ al corurilor I și II , II și III etc.

Unele probleme de statică se pot rezolva utilizând deplasările lanțurilor cinematici cu un grad de libertate.

Determinarea deplasărilor corurilor se face pornind de la o deplasare cunoscută și ținând seama de poziția centrelor de rotație.

Un lanț cinematic alcătuit din n coruri are n centre absolute și C_n^2 centre relative.

Pozitia centrelor de rotație se determină utilizând teorema de coliniaritate, pornind de la centrele de rotație a căror poziție se cunoaște*.

Se reamintește teorema de coliniaritate a centrelor instantanee, a cărei demonstrație este dată în cursurile de statică [13], [19].

* Observație. Pentru un mecanism, articulațiile cu baza de susținere sunt centre absolute, iar articulațiile interioare sunt centre relative. Poziția unora dintre centre este cunoscută prin datele problemei.

Trei centre instantanee de rotație a trei coruri oarecare ale lanțului cinematic sunt coliniare.

Se va arăta că centrele relative ale corurilor I , II și III sunt coliniare folosind notația 12 13 23 și că centrele absolute ale corurilor I și II și centrul relativ corespunzător sunt coliniare prin notația $1p$, 12 , $2p$.

Un centru de rotație se va obține ca punct de intersecție a două direcții date de relații de genul celor arătate mai înainte.

Astfel, pentru lanțul cinematic din figura 1.4 există:

- centre de rotație a căror poziție este cunoscută ($1p$, $3p$, 12 și 23);
- centre de rotație a căror poziție nu este cunoscută $2p$ și 13 .

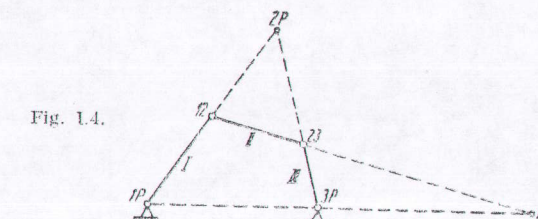


Fig. 1.4.

Centrul absolut $2p$ al corpului II se determină cu ajutorul corurilor I și III , aplicind teorema de coliniaritate:

- $2p$ cu ajutorul corpului I , $2p$ 12 $1p$;
- $2p$ cu ajutorul corpului III , $2p$ 23 $3p$.

La intersecția celor două direcții se află centrul $2p$.

Se observă că pentru a determina un centru absolut, trebuie să se pornească cu un corp al căruia centru absolut este cunoscut, precum și centrul relativ al celor două coruri.

Centrul relativ 13 se determină astfel:

- 13 cu ajutorul corurilor I și III , 13 $1p$ $3p$;
- 13 cu ajutorul corpului II , 13 21 23 .

Cunoscând poziția centrelor de rotație, se pot determina proiecțiile pe o direcție oarecare a deplasărilor corurilor lanțului cinematic pentru o deplasare dată unui corp din lanțul cinematic.

În statică se utilizează în mod obișnuit proiecțiile deplasărilor pe direcția orizontală și pe direcția verticală.

Deplasările raportate la cele două axe de referință se numesc epure de deplasări. În aceste epure, în dreptul centrelor absolute deplasările corurilor sunt nule, iar în dreptul centrelor relative corespunzătoare două coruri au deplasarea egală.

În figura 1.5 s-au trase epurele de deplasări pe orizontală și verticală pentru o deplasare dată $\Theta_1=1$, în sensul acelor de ceasornic. Centrele de rotație se determină ca la sistemul din figura 1.4.

Se observă că în cele două epure, în dreptul centrelor absolute $1p$, $2p$ și $3p$ deplasările sunt nule, iar în dreptul centrelor relative 12 , 23 și 13 deplasările corurilor respective sunt egale.

Proiecția deplasării unui corp pe o direcție dată are o variație liniară, oricare ar fi forma corpului.

Epurele de deplasări se utilizează în călculul reacțiunilor și eforturilor din diferite secțiuni ale sistemelor static determinate, rezolvate prin metoda lui mecanic virtual.

Principiul lucrului mecanic virtual cunoscut din mecanica teoretică se enunță astfel; condiția necesară și suficientă pentru ca un corp să fie în echilibru este ca lucrul mecanic al forțelor exterioare ce acționează asupra corpului, parcursind deplasări infinitesimale, compatibile cu legăturile, să fie egal cu zero. Se demonstrează că și reciprocă este adevărată.

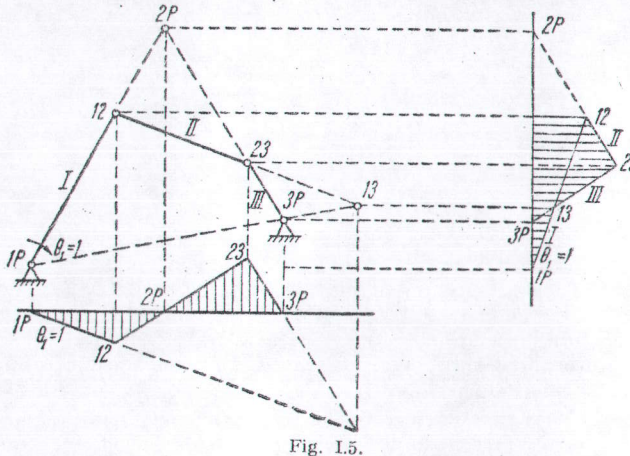


Fig. I.5.

În continuare se va prezenta modul de determinare a reacțiunilor utilizând acest principiu.

Se presupune un sistem static determinat acționat de o serie de forțe date. Pentru a determina una din reacțiuni, se suprimă legătura corespunzătoare reacțiunii căutate și în locul ei se introduce o forță sau un moment, după caz.

Sub acțiunea forțelor date și a reacțiunii, care alcătuiesc sistemul de forțe exterioare, structura este în echilibru, însă având o legătură mai puțin a devenit mecanism cu un grad de libertate, deci poate avea anumite deplasări, funcție de un singur parametru.

Dind unui corp din ansamblu o deplasare compatibilă cu legăturile sale și ținând seama de legăturile celorlalte corpuși, precum și de poziția centrelor de rotație, se determină epurele de deplasări pe orizontală și verticală. Din epurele de deplasări se obțin proiecțiile deplasărilor punctelor de aplicatie ale forțelor. Scriind ecuația de lucru mecanic virtual egal cu zero, se obține o ecuație cu o necunoscută, care este tocmai reacțiunea căutată. Dacă semnul reacțiunii este plus, atunci reacțiunea are sensul ales inițial, dacă semnul este minus înseamnă că reacțiunea este de sens invers.

În mod obișnuit, în problemele în care se va utiliza principiul lucrului mecanic virtual, se va alege deplasarea inițială astfel încât calculele să fie cât mai simple, iar necunoscuta căutată să apară direct.

Pentru aceasta se va alege deplasarea inițială egală cu unitatea și de sens contrar necunoscutei căutate.

Ecuația de lucru mecanic va avea forma: $S\delta_s + \sum P_i \eta_i = 0$.

Alegind $\delta_s = -1$, rezultă: $S = \sum P_i \eta_i$, unde s-a notat cu S necunoscuta problemei, cu δ_s deplasarea necunoscutei S , cu P_i – forță exterioară curentă, iar cu η_i – proiecția deplasării punctului de aplicatie al forței P_i pe direcția acestei forțe.

APLICAȚII

Să se determine analitic reacțiunile din rezemări la următoarele sisteme:

Problema I.1 (fig. I.6). Se dă: $p = 2 \text{ tf/m}$; $P_1 = 6 \text{ tf}$; $P_2 = 4 \text{ tf}$; $a = 2 \text{ m}$; $\alpha = 60^\circ$. Scriind ecuațiile de echilibru static, se obține:

$$\Sigma X = 0$$

$$H_A + P_2 \cos \alpha = 0; H_A = -4 \frac{\sqrt{3}}{2} = -2\sqrt{3} \text{ tf}; H_A = -3,46 \text{ tf};$$

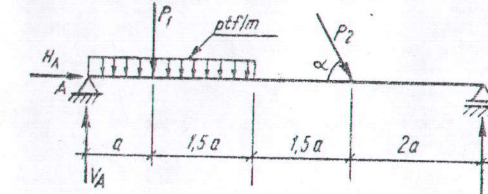


Fig. I.6.

$$\Sigma Y = 0$$

$$V_A - P_1 \cdot 2,5a - P_2 \sin \alpha + V_B = 0; V_A + V_B = 6 + 10 + 2 = 18 \text{ tf};$$

$$\Sigma M_B = 0$$

$$V_A \cdot 6a - P_1 \cdot 5a - 2,5a p \cdot 4,75a - P_2 \frac{1}{2} \cdot 2a = 0;$$

$$V_A = 13,58 \text{ tf}; V_B = 18 - 13,58 = 4,42 \text{ tf}.$$

Deoarece H_A a rezultat cu semnul (-) minus, înseamnă că sensul real este invers sensului considerat inițial în calcul.

Problema I.2 (fig. I.7). Se dă: $p=1 \text{ tf/m}$; $P=4 \text{ tf}$; $l=8 \text{ m}$; $h=6 \text{ m}$.

$$\Sigma X=0; -H_A+P=0.$$

$$\Sigma Y=0; V_A-p \frac{l}{2}+V_B=0.$$

$$\Sigma M_A=0; -V_B \cdot l + p \frac{l}{2} \cdot \frac{3}{4} l + P \cdot h = 0.$$

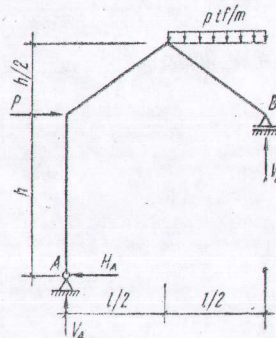


Fig. I.7.

Înlocuind cu valorile date, se obține:

$$H_A=4 \text{ tf};$$

$$V_B=\frac{1}{8} \left(1 \cdot \frac{8}{2} \cdot \frac{3}{4} 8 + 4 \cdot 6 \right) = 6 \text{ tf}.$$

$$V_A=4-6=-2 \text{ tf}.$$

Determinarea reacțiunilor se mai poate efectua scriind două ecuații de moment și o ecuație de proiecție, pe o direcție care să nu fie normală pe dreapta ce unește cele două puncte față de care s-au scris ecuațiile de momente, sau scriind 3 ecuații de momente în raport cu 3 puncte care să nu fie coliniare.

$$\Sigma X=0; H_A=4 \text{ tf}$$

$$\Sigma M_A=0; V_B=6 \text{ tf}$$

$$\Sigma M_B=0; V_A \cdot 8 + H_A \cdot 6 - p \frac{l}{2} \frac{1}{4} l = 0$$

$$V_A=\frac{1}{8} (-24+8)=-2 \text{ tf}.$$

Sensul real al reacțiunii V_A este invers celui considerat inițial în calcul.
Problema I.3 (fig. I.8). Pentru rezolvare se folosește metoda separării corpurilor.

Se separă corpurile prin îndepărțarea legăturii interioare din punctul C și se pun în evidență componentele forțelor de legătură, ca perechi de forțe egale și de sens contrar pe cele două corpuri. Scriind ecuațiile de echilibru static pentru fiecare corp, se obțin două sisteme de ecuații din rezolvarea cărora rezultă valoarea necunoscutelor.

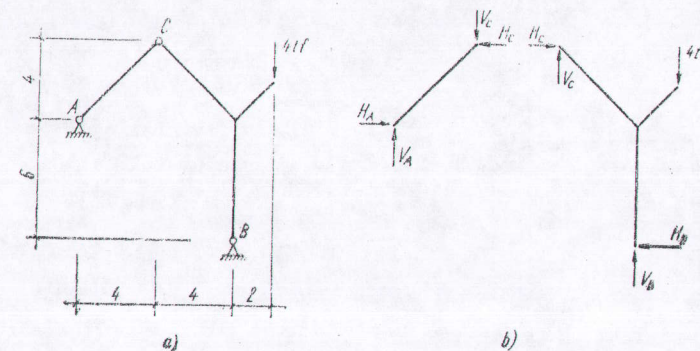


Fig. I.8.

Corpul I

$$\Sigma X=0; H_A-H_C=0 \quad H_A=H_C$$

$$\Sigma Y=0; V_A-V_C=0 \quad V_A=V_C$$

$$\Sigma M_C=0; V_A \cdot 4 - H_A \cdot 4 = 0 \quad V_A=H_A$$

Corpul II

$$\Sigma X=0; H_C-H_B=0 \quad H_C=H_B$$

$$\Sigma Y=0; V_C+V_B-4=0 \quad V_B+V_C=4$$

$$\Sigma M_C=0; H_B \cdot 10 - V_B \cdot 4 + 4 \cdot 6 = 0 \quad 10 \cdot H_B - 4 \cdot V_B = -24$$

Rezolvând sistemele de ecuații rezultă:

$$H_A=H_C=H_B=V_A=V_C$$

$$10 H_B - 4(4-H_B) = -24$$

$$14 H_B = -24 + 16; H_B = -0,57 \text{ tf.}$$

$$V_B = 4 + 0,57 = 4,57 \text{ tf.}$$

Deoarece H_A , H_B și V_A au rezultat cu semnul minus (-), înseamnă că reacțiunile au sens invers celui considerat inițial în calcul.

Problema I.4 (fig. I.9). Se dă: $p_0=2 \text{ tf/m}$; $P=4,5 \text{ tf}$; $l=9 \text{ m}$; $h=6 \text{ m}$; $a=2 \text{ m}$.

Determinarea reacțiunilor se efectuează folosind metoda separării corpurilor.

Se scriu ecuațiile de echilibru pentru fiecare corp și se obține:

Corpul I:

$$\sum X=0 \quad 2 \cdot 6 \cdot \frac{1}{2} - H_A - H_C = 0 \quad H_A + H_C = 6$$

$$\sum Y=0 \quad V_A + V_C = 0 \quad V_A = -V_C$$

$$\sum M_C=0 \quad V_A \cdot 9 + H_A \cdot 6 - 2 \cdot 6 \cdot \frac{1}{2} \cdot \frac{2}{3} \cdot 6 = 0 \quad 3V_A + 2H_A = 8.$$

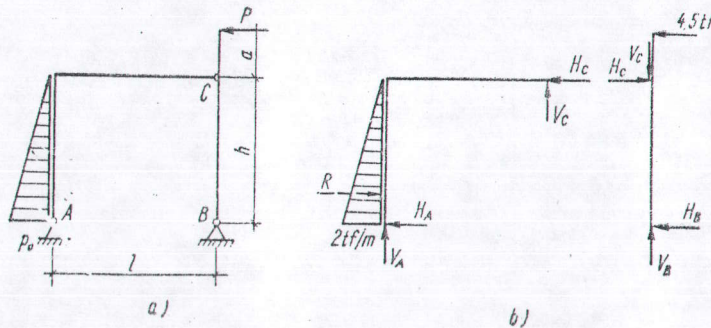


Fig. 1.9.

Corpul II:

$$\sum X=0 \quad H_B - H_C + 4,5 = 0 \quad H_C - H_E = 4,5$$

$$\sum Y=0 \quad V_B - V_C = 0 \quad V_B = V_C$$

$$\sum M_C=0 \quad H_B \cdot 6 - 4,5 \cdot 2 = 0 \quad 6H_B = 9.$$

Din cele două sisteme de ecuații rezultă:

$$H_B = 1,5 \text{ tf} \quad H_A = 6 - 6 = 0 \quad V_B = V_C = -V_A = -\frac{8}{3} \text{ tf}$$

$$H_C = 4,5 + 1,5 = 6 \text{ tf} \quad V_A = \frac{8}{3} \text{ tf} \quad V_B = -\frac{8}{3} \text{ tf}.$$

Problema I.5 (fig. I.10). Grinda cu console și articulații din figura I.10 se rezolvă prin descompunere în elementele componente.

Dacă pe grindă sunt forțe orizontale sau inclinate, efectul lor pe orizontală este preluat de rezemul fix (în cazul de față articulația A).

Reacțiunile verticale se determină din rezolvarea fiecărui corp în parte, pornind de la elementele care nu transmit efectul direct la teren, ci altor corpi ale structurii.

În cazul de față, rezolvarea se va face în ordinea următoare:

1) Grinda CD:

$$\sum Y=0; \quad V_C + V_D - 2 \cdot 4 = 0$$

$$\sum M_D=0; \quad V_C \cdot 4 - 2 \cdot 4 \cdot 2 = 0 \quad V_C = 4 \text{ tf}$$

$$V_D = 8 - 4 = 4 \text{ tf} \quad V_C = V_D.$$

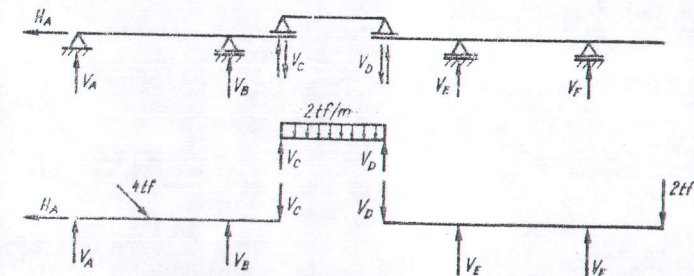
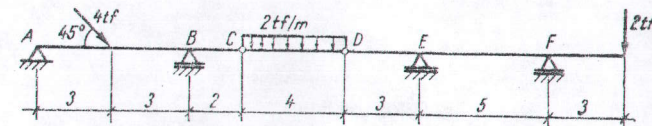


Fig. 1.10.

2) Grinda ABC:

$$\sum X=0 \quad H_A - 4 \cdot \frac{\sqrt{2}}{2} = 0 \quad H_A = 2\sqrt{2} \text{ tf}$$

$$\sum M_B=0 \quad V_A \cdot 6 - 4 \frac{\sqrt{2}}{2} \cdot 3 + 4 \cdot 2 = 0 \quad V_A = \frac{4-3\sqrt{2}}{3} \text{ tf}$$

$$\sum Y=0 \quad V_B = \frac{20+15\sqrt{2}}{6} \text{ tf.}$$

3) Grinda DEF:

$$\sum M_F=0; \quad -4 \cdot 8 + V_E \cdot 5 + 2 \cdot 3 = 0 \quad V_E = 5,2 \text{ tf}$$

$$\sum Y=0; \quad V_F = 6 - 5,2 = 0,8 \text{ tf} \quad V_F = 0,8 \text{ tf.}$$

Problema I.6 (fig. I.11). Pentru determinarea reacțiunilor se scriu cele 3 ecuații de echilibru static și o ecuație de moment zero în raport cu articulația din C($M_{ic}=0$) a forțelor de la stânga sau de la dreapta:

$$\sum X=0; \quad -H_A + 2 \cdot 4 - 6 = 0$$

$$\sum Y=0; \quad V_A = V_B$$

$$\sum M_A=0; \quad -M_A + V_B \cdot 6 - 6 \cdot 2 + 2 \cdot 4 \cdot \frac{4}{2} = 0.$$

Pentru forțele de la dreapta articulației:

$$M_{ic}=0; \quad -6 \cdot 2 + V_B \cdot 4 = 0.$$

Rezolvând sistemul de ecuații, rezultă:

$$H_A = 2 \text{ tf}, \quad V_B = 3 \text{ tf}, \quad V_A = 3 \text{ tf}, \quad M_A = 22 \text{ tfm}.$$

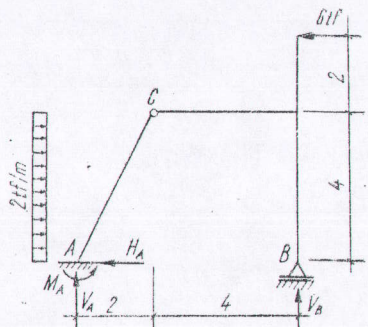


Fig. II.11.

Problema I.7 (fig. I.12):

$$\sum X = 0; \quad -H_A - H_B + 3 = 0$$

$$\sum Y = 0; \quad V_A - 1 \cdot 4 + V_B + V_C = 0$$

$$\sum M_B = 0; \quad V_A \cdot 8 + 3 \cdot 6 - 1 \cdot 4 \cdot 6 + 8 - V_C \cdot 6 = 0$$

$$M_{ID}^s = 0; \quad V_A \cdot 4 + H_A \cdot 8 - 3 \cdot 2 - 1 \cdot 4 \cdot 2 = 0$$

$$M_{IE}^d = 0; \quad -V_C \cdot 4 + 8 = 0.$$

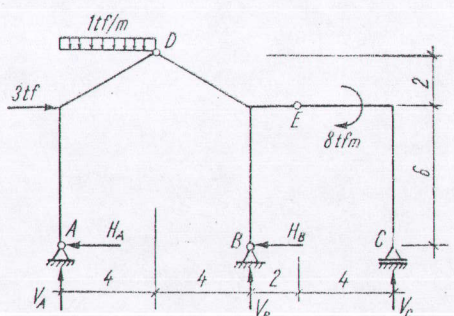


Fig. II.12.

Rezolvând sistemul de ecuații, se obține:

$$V_C = 2 \text{ tf}, \quad V_A = \frac{10}{8} \text{ tf}, \quad V_B = \frac{3}{4} \text{ tf},$$

$$H_A = \frac{9}{8} \text{ tf}, \quad H_B = \frac{15}{8} \text{ tf}.$$

O rezolvare mai rapidă a problemei este următoarea:

— Se determină reacțunea V_C din condiția de moment zero în articulația E pentru forțele de la dreapta:

$$M_{iE} = 0; \quad -V_C \cdot 4 + 8 = 0; \quad V_C = 2 \text{ tf}.$$

$$\text{Apoi: } \sum M_B = 0; \quad V_A \cdot 8 + 3 \cdot 6 - 1 \cdot 4 \cdot 6 + 8 - 2,6 = 0; \quad V_A = \frac{10}{8} \text{ tf}$$

$$\sum Y = 0; \quad \frac{10}{8} - 1 \cdot 4 - V_B - 2 = 0 \quad V_B = \frac{3}{4} \text{ tf}$$

$$M_{iD} = 0; \quad \frac{10}{8} \cdot 4 - H_A \cdot 8 - 3 \cdot 2 - 1 \cdot 4 \cdot 2 = 0; \quad H_A = \frac{9}{8} \text{ tf}$$

$$\sum X = 0; \quad \frac{9}{8} - 3 + H_B = 0; \quad H_B = \frac{15}{8} \text{ tf}.$$

Se elimină în acest mod rezolvarea sistemului de ecuații.

Problema I.8 (fig. I.13):

$$\sum X = 0; \quad H_B - H_C = 0$$

$$\sum Y = 0; \quad V_A + V_B + V_C - 3 - 2 \cdot 3 - 2 = 0$$

$$\sum M_C = 0; \quad V_A \cdot 8 - 2 \cdot 3 \cdot 6,5 - 3 \cdot 6 + V_B \cdot 4 + 2 \cdot 1 = 0$$

$$M_{iD} = 0; \quad V_A \cdot 3 - 2 \cdot 3 \cdot 1,5 - 3 \cdot 1 = 0$$

$$M_{iE} = 0; \quad V_A \cdot 5 - 2 \cdot 3 \cdot 3,5 - 3 \cdot 3 + V_B \cdot 1 - H_B \cdot 4 = 0.$$

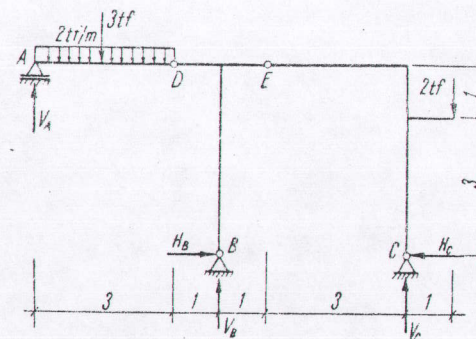


Fig. I.13

Rezolvând sistemul de ecuații, se obține:

$$V_A = 4 \text{ tf}, \quad V_B = \frac{5}{4} \text{ tf}, \quad V_C = \frac{5}{4} \text{ tf}$$

$$H_B = -\frac{17}{16} \text{ tf}, \quad H_C = -\frac{17}{16} \text{ tf}.$$

Sensul real al reacțiunilor H_B și H_C este invers decât cel considerat inițial în calcul.

Problema I.9 (fig. I.14). Calculul reacțiunilor la sistemul compus, din figură, se efectuează separindu-l în două sisteme ABC și DEF . În prima etapă se rezolvă cadrul superior DEF . Reacțiunile determinate pentru cadrul superior se introduc ca acțiuni pe cadrul inferior.

Pentru fiecare din cele două cadre, calculul se efectuează printr-una din metodele aplicate mai înainte.

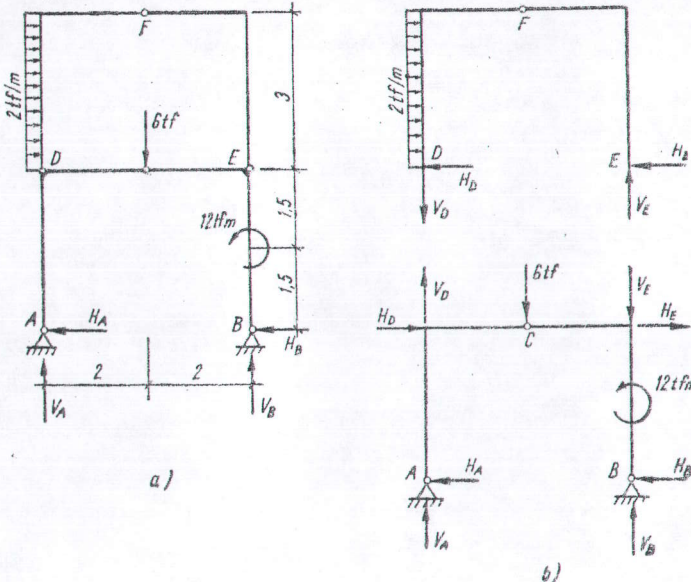


Fig. I.14.

Cadrul DEF:

$$\Sigma X=0; \quad H_D+H_E=6$$

$$\Sigma M_E=0; \quad 2 \cdot 3 \cdot 1,5 - V_D \cdot 4 = 0$$

$$\Sigma Y=0; \quad V_D=V_E$$

$$M_{IP}=0; \quad H_D \cdot 3 - 2 \cdot 3 \cdot 1,5 - V_D \cdot 2 = 0.$$

Rezultă: $V_D=2,25 \text{ tf}$; $V_E=2,25 \text{ tf}$; $H_D=4,5 \text{ tf}$; $H_E=1,5 \text{ tf}$.

Cadrul ABC:

$$\Sigma X=0; \quad H_A+H_B=H_D+H_E$$

$$\Sigma Y=0; \quad V_A+V_D-6-V_E+V_B=0$$

$$\Sigma M_B=0; \quad V_A \cdot 4 + (H_D+H_E) \cdot 3 + V_D \cdot 4 - 6 \cdot 2 - 12 = 0$$

$$M_{IC}=0; \quad V_A \cdot 2 + H_A \cdot 3 + V_D \cdot 2 = 0.$$

Rezultă: $V_A=-\frac{3}{4} \text{ tf}$, $V_B=\frac{27}{4} \text{ tf}$,

$$H_A=-1 \text{ tf}, \quad H_B=7 \text{ tf}.$$

V_A și H_A au rezultat cu semnul (-) minus, deci în realitate au sensul invers decât cel considerat inițial în calcul.

Problema I.10 (fig.I.15). Sistemul se descompune în trei structuri static determinate, cadrul cu trei articulații CED, precum și stîlpii în consolă AC și BD care se rezolvă separat începînd cu cadrul superior CED.

Cadrul CED

$$\Sigma X=0; \quad H_C=H_D$$

$$\Sigma Y=0; \quad V_C+V_D-1 \cdot 2=0$$

$$\Sigma M_D=0; \quad V_C \cdot 4 - 1 \cdot 2 \cdot 3 = 0$$

$$M_{IE}=0; \quad V_C \cdot 2 - H_C \cdot 3 - 1 \cdot 2 \cdot 1 = 0.$$

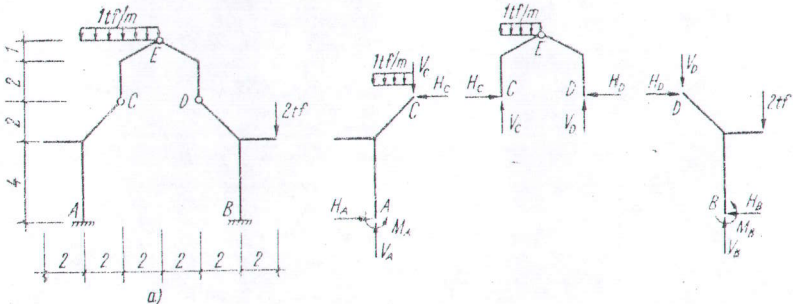


Fig. I.15.

Rezolvînd sistemul de ecuații se obține:

$$V_C=1,5 \text{ tf}, \quad V_D=0,5 \text{ tf}, \quad H_C=\frac{1}{3} \text{ tf}, \quad H_D=\frac{1}{3} \text{ tf}.$$

Consola AC

$$\Sigma X=0; \quad H_A=H_C=\frac{1}{3} \text{ tf}$$

$$\Sigma Y=0; \quad V_A=V_C+1 \cdot 2=3,5 \text{ tf}$$

$$\Sigma M_C=0; \quad -M_A+V_A \cdot 2 - H_A \cdot 6 - 1 \cdot 2 \cdot 1 = 0, \quad M_A=3 \text{ tfm}.$$

Consola BD

$$\Sigma X = 0; \quad H_B = H_D = \frac{1}{3} \text{ tf}$$

$$\Sigma Y = 0; \quad V_B = V_D + 2 = 2,5 \text{ tf}$$

$$\Sigma M_D = 0; \quad -M_B + H_B \cdot 6 + 2 \cdot 4 - V_B \cdot 2 = 0, \quad M_B = 5 \text{ tfm.}$$

Problema I.11 (fig. I.16). Se separă sistemul în trei structuri I (CFEGD), II(AC) și III(BD) și se rezolvă separat.

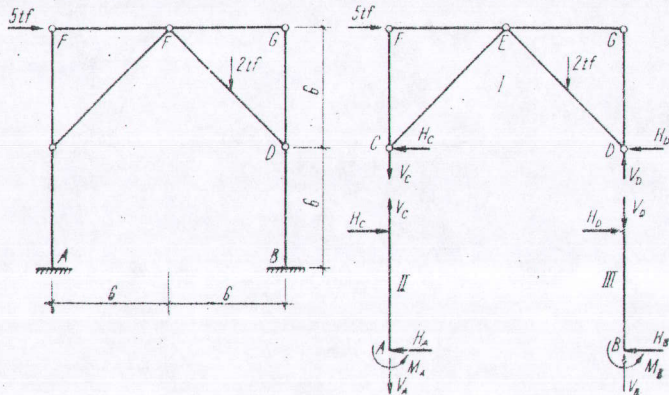


Fig. I.16.

Cadrul CFEGD

$$\Sigma X = 0; \quad 5 - H_C - H_D = 0$$

$$\Sigma Y = 0; \quad -V_C - 2 + V_D = 0$$

$$\Sigma M_D = 0; \quad 5 \cdot 6 - V_C \cdot 12 - 2 \cdot 3 = 0$$

$$M_{IE} = 0; \quad H_C \cdot 6 - V_C \cdot 6 = 0.$$

Rezolvind sistemul de ecuații, se obține:

$$V_C = 2 \text{ tf}, \quad V_D = 4 \text{ tf}, \quad H_C = 2 \text{ tf}, \quad H_D = 3 \text{ tf}.$$

Consola AC

$$\Sigma X = 0; \quad H_A = H_C = 2 \text{ tf}$$

$$\Sigma Y = 0; \quad V_A = V_C = 2 \text{ tf}$$

$$\Sigma M_C = 0; \quad -M_A + H_A \cdot 6 = 0, \quad M_A = 12 \text{ tfm.}$$

Consola BD

$$\Sigma X = 0; \quad H_B = H_D = 3 \text{ tf}$$

$$\Sigma Y = 0; \quad V_B = V_D = 4 \text{ tf}$$

$$\Sigma M_D = 0; \quad -M_B + H_B \cdot 6 = 0, \quad M_B = 18 \text{ tfm.}$$

Să se determine centrele instantanee de rotație și să se traseze epurele de deplasări — pe orizontală și pe verticală — la următoarele mecanisme, pentru deplasarea virtuală indicată la fiecare caz în parte:

Problema I.12. Să se determine epurele de deplasări pentru $\theta_3 = +1$, la mecanismul din figura I.17.

Centrele instantanee absolute și relative care apar direct pe schema mecanismului sunt: 1p, 3p, 12 și 23.

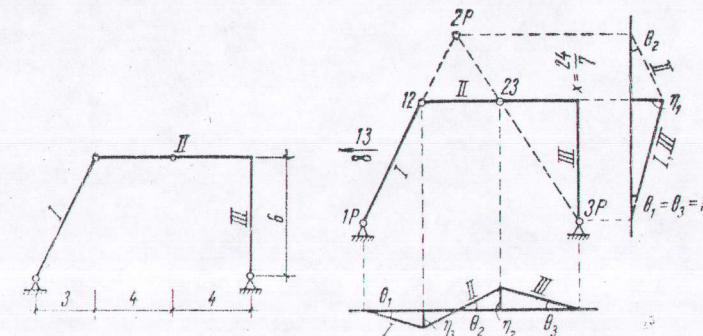


Fig. I.17.

Centrul absolut al corpului II se determină cu ajutorul teoremei de coliniaritate (fig. I.17, b):

$$\begin{array}{ccc} 2p & 12 & 1p \\ 2p & 23 & 3p \end{array} \rightarrow 2p.$$

Centrul relativ al corporilor I și III se determină în mod asemănător:

$$\begin{array}{ccc} 13 & 1p & 3p \\ 13 & 12 & 23 \end{array} \rightarrow 13.$$

Se observă că centrul relativ 13 se află la infinit pe orizontală. Deoarece în dreptul acestui centru corporile I și III au deplasarea egală (în epură se intersectează în acest punct), rezultă că ele în poziție deplasată sunt paralele, adică au același unghi de rotație:

$$\theta_1 = \theta_3 = 1; \quad \theta_2 = \frac{7}{4}$$

$$\eta_1 = 6 \cdot \theta_3 = 6; \quad \eta_2 = 4 \cdot \theta_3 = 4; \quad \eta_3 = 3 \cdot \theta_1 = 3.$$

Problema I.13. Să se traseze epurele de deplasări pentru deplasarea articulației A pe verticală cu cantitatea $\Delta_v = 1$, la mecanismul din figura I.18.

Centrele instantanee care apar direct pe figură sunt: 1p, 3p, 12, 23, 34.

Celelalte centre instantanee se determină astfel:

$$\begin{array}{l} 2p \quad 12 \quad 1p \rightarrow 2p \\ 2p \quad 32 \quad 3p \rightarrow 2p \\ 13 \quad 12 \quad 23 \rightarrow 13 \\ 13 \quad 1p \quad 3p \rightarrow 13 \\ 4p \quad 34 \quad 3p \rightarrow 4p \end{array}$$

$4p \perp$ pe reazem).

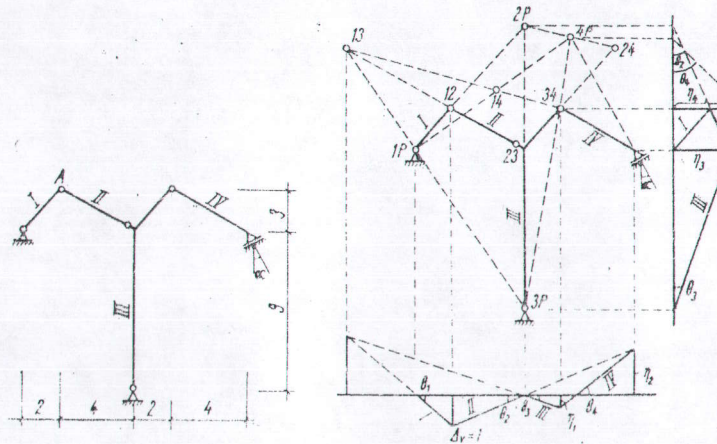


Fig. I.18.

Calculul deplasărilor:

$$\Delta v = 1, \quad \theta_1 = \frac{1}{2}, \quad \theta_2 = \frac{1}{4}.$$

Tinind seama de asemănarea triunghiurilor, se obține:

$$\Delta(Ip - 12 - 13) \sim \Delta(1p - 23 - 2p)$$

$$\frac{3}{2} = \frac{x}{6}; \quad x = 9; \quad \theta_3 = \frac{2,25}{9} = \frac{1}{4}$$

$$\eta_3 = 9 \cdot \theta_2 = 2,25; \quad \eta_4 = \theta_3 \cdot 12 = 3; \quad \eta_1 = 2 \cdot \theta_3 = \frac{1}{2}.$$

θ_4 și η_2 sunt funcție de unghiul α .

Problema I.14. Se dă deplasarea relativă a corpurilor I și II, egală cu $\Delta = 1$. Se cer epurele de deplasări la mecanismul din figura I.19.

Centrul relativ 12 se află la infinit pe direcția celor doi penduli de legătură dintre corpurile I și II. De aceea, corpurile I și II se deplasează paralel, rezultând $\theta_1 = \theta_2$.

În figură, săgețile indică sensul de deplasare a celor două coruri. Întrucât deplasarea dată nu apare în adevarata mărime în epurele de deplasări, trebuie determinate proiecțiile ei pe verticală și orizontală. Proiecția deplasării pe verticală este $\cos \alpha$, iar pe orizontală $\sin \alpha$.

$$\cos \alpha = \frac{3}{\sqrt{13}}; \quad \sin \alpha = \frac{2}{\sqrt{13}}.$$

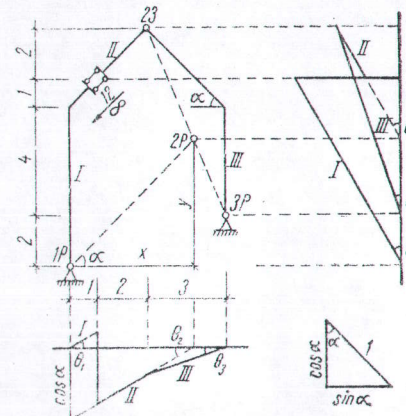


Fig. I.19.

Pentru determinarea rotiriilor θ_1 , θ_2 și θ_3 este necesar să se cunoască poziția centrului absolut 2p.

Din figură rezultă:

$$\frac{a}{3} = \frac{2}{6}; \quad a = 1$$

$$\tan \alpha = \frac{y}{x} = \frac{2}{3}$$

$$y = \frac{2}{3}x \quad (1)$$

$$\frac{6-x}{6-x+a} = \frac{y-2}{y} \quad y = 14 - 2x. \quad (2)$$

Introducind în (1) rezultă:

$$x = 5,125 \text{ m}, \quad y = 3,75 \text{ m}$$

$$\theta_1 = \theta_2 = \frac{\cos \alpha}{x} = \frac{3}{\sqrt{13}} \cdot \frac{1}{5,125}.$$

Problema I.15. Să se determine reacțiunile H_A și V_B la structura din figura I.20, utilizând ecuația de lucru mecanic virtual.

Determinarea reacției H_A

Se îndepărtează legătura corespunzătoare reacției H_A și se introduce o forță H_A pe direcția legăturii suprimate. Corpul este în echilibru sub acțiunea forțelor exterioare, dar există posibilitatea unei deplasări pe direcția necunoscutei introduse.

Se observă că cele două reazeme simple permit deplasarea numai pe orizontală. Corpul se va deplasa paralel cu el însuși. Ecuația de lucru mecanic virtual egal cu zero este:

$$4 \cdot 1 - H_A \cdot 1 = 0.$$

De unde rezultă $H_A = 4$ tf.

Determinarea reacției V_B (fig. I.21).

Se trasează diagramele deplasărilor pe cele două direcții (orizontală și verticală) și se determină ordonatele deplasărilor în dreptul fiecărei forțe. Se scrie ecuația de lucru mecanic virtual, din care se calculează valoarea necunoscutei V_B .

$$\theta = \frac{1}{8}; \quad \eta_1 = \frac{3}{4}; \quad \eta_2 = \frac{3}{4}$$

$$4 \cdot \frac{3}{4} + 1 \cdot \frac{3}{4} - V_B \cdot 1 = 0$$

$$V_B = 6 \text{ tf}$$

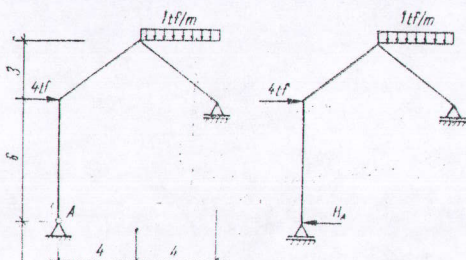


Fig. I.20.

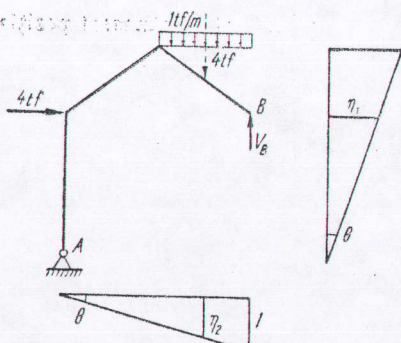


Fig. I.21.

Problema I.16. Să se determine reacția H_B la structura din figura I.22, utilizând ecuația de lucru mecanic virtual.

S-a înlocuit legătura corespunzătoare reacției H_B cu o forță. Sistemul se transformă într-un mecanism cu posibilități de deplasare. Centrele relative de rotație se determină aplicând teorema de coliniaritate.

Centrele $1p$ și 12 fiind cunoscute, centrul absolut $2p$ se află la intersecția direcției $1p-12$ cu normala la reazemul simplu din B . Se trasează epura de deplasări pe orizontală, se determină deplasările forțelor și se scrie ecuația de lucru mecanic virtual egal cu zero.

Din asemănarea triunghiurilor:

$$\Delta(2p, 12, c) \sim \Delta(2p, a, b)$$

$$\frac{\eta}{1} = \frac{(2p-12)}{(2p-a)}; \quad \frac{\eta}{1} = \frac{12}{20}$$

$$\Delta(1p, 12, c) \sim \Delta(1p, d, e)$$

$$\frac{\eta_1}{1} = \frac{(1p-12)}{(1p-d)}; \quad \frac{\eta_1}{1} = \frac{12}{8}$$

$$\eta = \frac{12}{20} = \frac{3}{5}; \quad \eta_{12} = \frac{2}{5}$$

$$-H_B \cdot 1 + 4 \cdot \frac{2}{5} = 0 \quad H_B = 1,6 \text{ tf.}$$

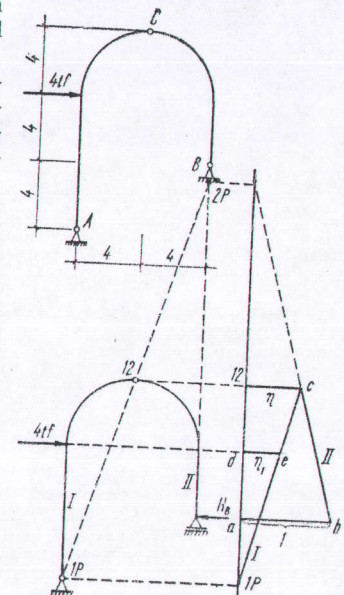


Fig. I.22.

Problema I.17. La sistemul de la aplicația I.16 să se determine reacția V_B prin aceeași metodă (fig. I.23).

Se determină poziția centrului instantaneu $2p$ din asemănarea de triunghiuri:

$$\Delta(1p, 2p, a) \sim \Delta(1p, 12, b)$$

$$\frac{(a, 2p)}{(b, 12)} = \frac{(a, 1p)}{(b, 1p)}; \quad (a, 2p) = \frac{4 \cdot 4}{12} = \frac{4}{3}.$$

Din diagrama deplasărilor pe verticală rezultă:

$$\frac{\eta}{1} = \frac{\frac{4}{3} - \frac{4}{3}}{8 - \frac{4}{3}}, \quad \text{de unde } \eta = \frac{2}{5}.$$

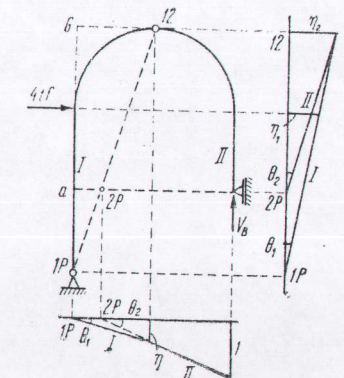


Fig. I.23.

Pentru a calcula η_1 este necesar să se cunoască valoarea rotirii θ_1 :

$$\theta_1 = \frac{\eta}{4} = \frac{2}{4} = \frac{1}{2}, \quad \text{apoi } \eta_1 = \frac{1}{10} \cdot 8 = \frac{4}{5} = 0,8.$$

Ecuăția de lucru mecanic virtual este:

$$-V_B \cdot 1 + 4 \cdot \frac{4}{5} = 0, \quad \text{adică } V_B = 3,2 \text{ tf.}$$

Problema I.18. Să se determine reacțiunea H_B la structura din figura I.24, utilizând ecuația de lucru mecanic virtual.

Se suprimă legătura corespunzătoare reacțiunii H_B și se introduce pe această direcție o forță.

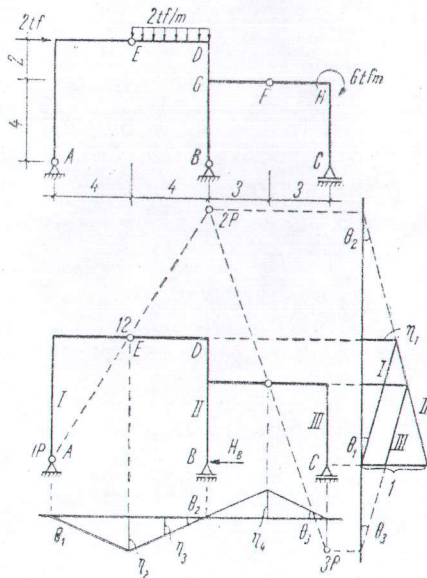


Fig. I.24.

În sistem sunt 3 corpi. Centrele de rotație necunoscute se determină astfel:

$2p \leftarrow 2p \quad 12 \quad 1p$
 $2p$ pe normala la rezemul simplu din B .

$3p \leftarrow 3p \quad 23 \quad 2p$
 $3p$ pe normala la rezemul simplu din C .

Pozitia centrelor absolute $2p$ și $3p$ se determină din asemănarea de triunghiuri:

$$\Delta(AB2p) \sim \Delta(2pED); \quad (2pD) = 6 \text{ m}$$

$$\Delta(2pGF) \sim \Delta(FH3p); \quad (2pF) = 4 \text{ m}$$

$$\theta_2 = \frac{1}{12}; \quad \theta_1 = \frac{\eta_1}{6} = \theta_2$$

$$\eta_1 = \frac{1}{2}; \quad \eta_2 = \theta_1 \cdot 4 = \frac{1}{3}; \quad \eta_3 = \frac{1}{2} \eta_2 = \frac{1}{6}; \quad \eta_4 = \theta_2 \cdot 3 = \theta_3 \cdot 3$$

$$\text{Deci } \theta_3 = \theta_2 = \frac{1}{12}.$$

Ecuția de lucru mecanic virtual:

$$-H_B \cdot 1 + 2 \cdot \eta_1 + 2 \cdot 4 \cdot \eta_3 + 6 \cdot \theta_3 = 0$$

$$H_B = \frac{17}{6} \text{ tf.}$$

Să se determine grafic reacțiunile la următoarele sisteme:

Problema I.19 (fig. I.25). Se construiește poligonul forțelor și poligonul funicular. Ambele trebuie să fie închise, pentru ca rezultanta R să fie egală cu zero și momentul M pentru orice punct din plan să fie egal cu zero.

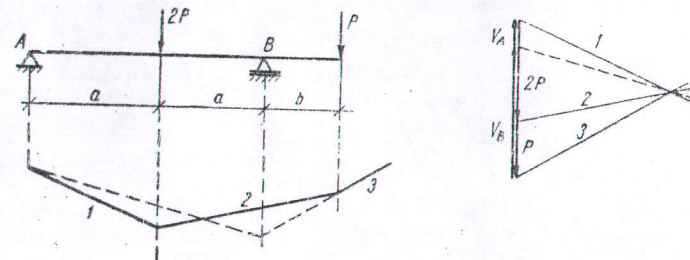


Fig. I.25.

Problema I.20 (fig. I.26). Pentru ca un corp să fie în echilibru trebuie ca forțele ce acționează asupra lui să fie concurente într-un punct ($M=0$). Reacțiunea din rezemul B are direcția cunoscută, perpendiculară pe planul de rezemare. În cazul de față este verticală. Direcția reacțiunii din articulația A trebuie să treacă prin punctul C de intersecție al direcției R_B cu direcția forței P .

Cunoscind direcțiile reacțiunilor din rezemele A și B , mărimea lor rezultă din poligonul închis al forțelor.

Problema I.21 (fig. I.27). Corpul BC nefiind solicitat decât de forțele de legătură din B și C , pentru echilibru trebuie ca aceste două forțe să fie coliniare, egale și de sens contrar.

Corpul AC trebuie să fie în echilibru, sub acțiunea forțelor P , R_C și R_A .

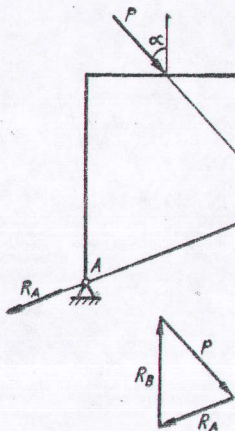


Fig. I.26.

Cunoscând direcția R_C , se determină punctul de intersecție D al acestei reacții cu direcția forței P , prin care trebuie să treacă și R_A .

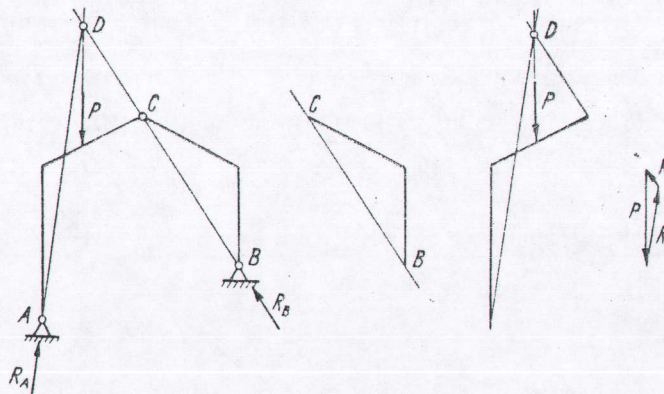


Fig. I.27.

Din triunghiul forțelor se determină R_A și R_C și apoi $R_B = R_C$.

Problema I.22 (fig. I.28). Determinarea reacțiunilor se face considerînd că sistemul este acționat numai de forța P și se obțin reacțiunile R'_A și R'_B ,

apoi, considerînd că este acționat de forța $2P$ se determină R''_A și R''_B (ca la problema precedentă). Reacțiunile reale se obțin din însumarea reacțiunilor parțiale, și anume:

$$\begin{aligned}\bar{R}_A &= \bar{R}'_A + \bar{R}''_A \\ \bar{R}_B &= \bar{R}'_B + \bar{R}''_B.\end{aligned}$$

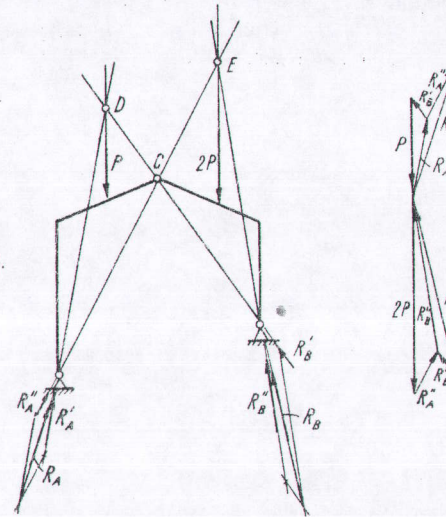


Fig. I.28.

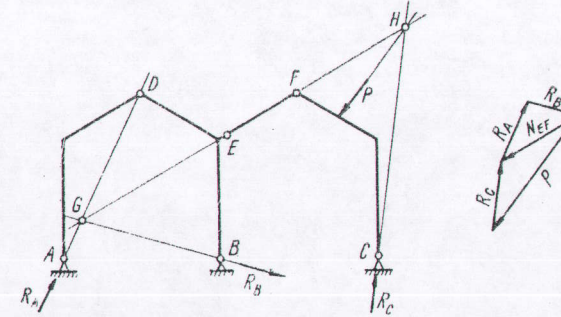


Fig. I.29.

Problema I.23. Să se determine direcția și sensul reacțiunilor la structura din figura I.29.

Bara EF fiind dublu articulată și neîncărcată, forțele de legătură din articulațiile E și F sunt coliniare avînd direcția barei EF .